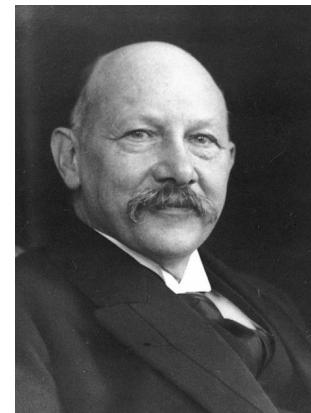


Supravodiče

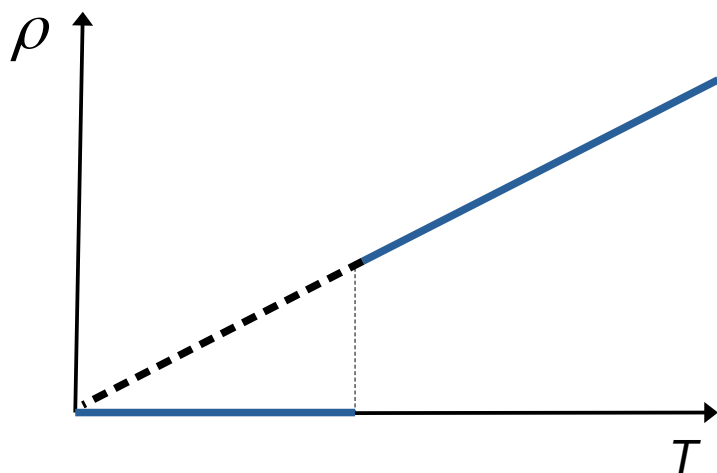
1908 zkapalnění helia 4,2 K

dosažena teplota 0,9 K

1911 supravodivost čistých kovů



Heike Kamerlingh
Onnes
1853 - 1926
NP 1913



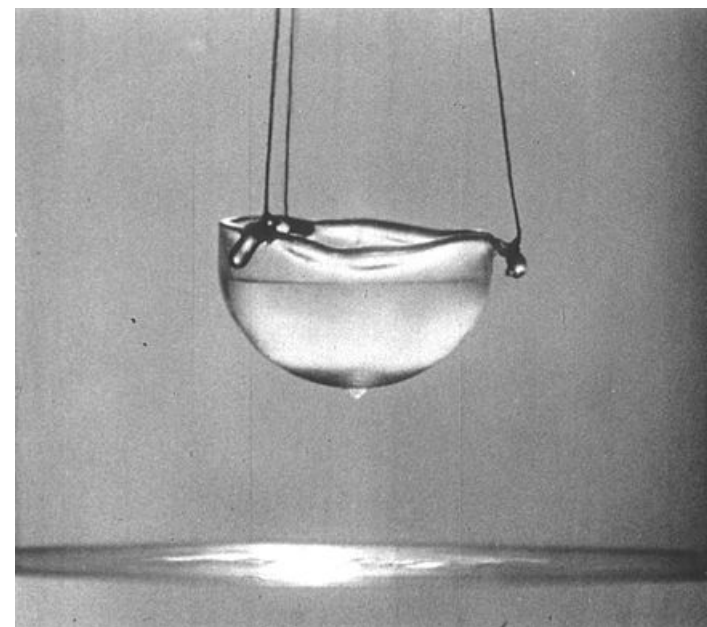
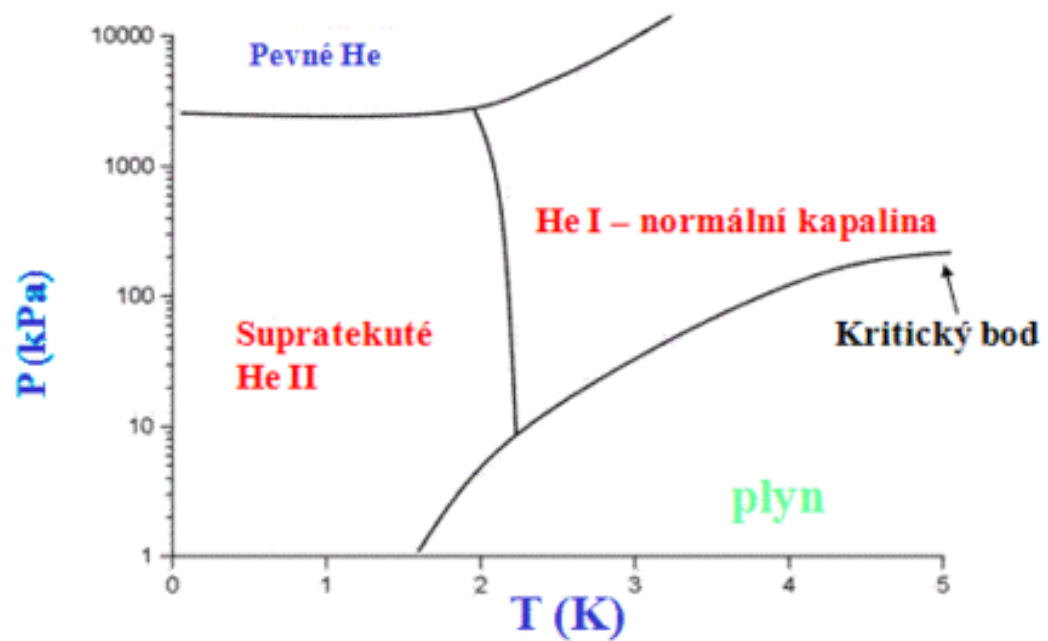
Nízke teploty

dusík: 77.35 K (-195,80 °C)

kyslík: 90.20 K (-182,95 °C)

helium: 4.2 K

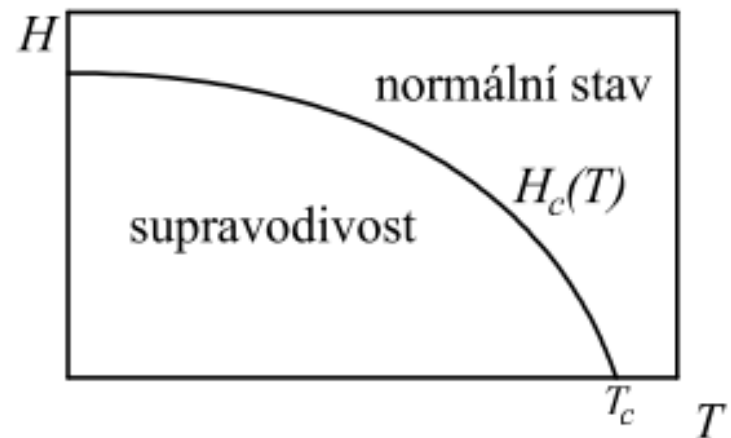
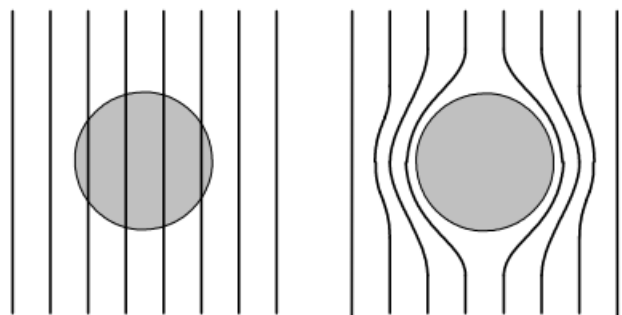
He



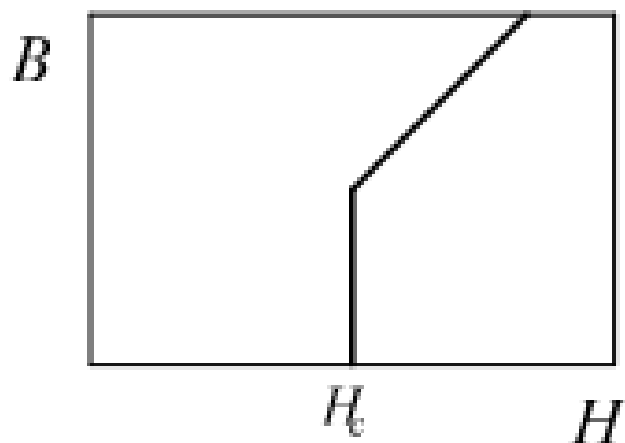
Výskyt supravodivosti

H	V políčku jsou uvedeny: značka prvku, kritická teplota (K), kritické magnetické pole přiabsolutní nule ($G=10^{-4}T$). Supravodivé prvky jsou																He	
Li	Be	orámovány, prvky s magnetickým uspořádáním jsou šedé. (Všimněte si, že se tyto dvě vlastnosti vylučují.) Prvky supravodivé jen za zvláštních podmínek jsou označeny hvězdičkou.										B	C	N	O	F	Ne	
Na	Mg											Al 1,140 105	Si*	P*	S	Cl	Ar	
K	Ca	Sc	Ti 0,39 100	V 5,38 1420	Cr*	Mn	Fe	Co	Ni	Cu	Zn 0,875 53	Ga 1,091 51	Ge*	As*	Se*	Br	Kr	
Rb	Sr	Y*	Zr 0,546 47	Nb 9,50 1980	Mo 0,92 95	Te 7,77 1410	Ru 0,51 70	Rh	Pd	Ag	Cd 0,56 30	In 3,404 293	Sn(b) 3,722 309	Sb*	Te*	I	Xe	
Cs*	Ba*	La ₁₀₀ 6,00 1100	Hf 0,12 4,483 830	Ta 4,483 830	W 0,012 1,07	Re 1,4 198	Os 0,655 65	Ir 0,14 19	Pt	Au	Hg(a) 4,153 412	Tl 2,39 171	Pb 7,193 803	Bi*	Po	At	Rn	
Fr	Ra	Ac																
			Ce*	Pr	Nd	Pm	Sm	Eu	Gd	Tb	Dy	Ho	Er	Fm	Yb	Lu 0,1		
			Th 1,368 1,62	Pa 1,4	U*(a)	Np	Pu	Am	Cm	Bk	Cf	Es	Fm	Md	No	Lr		

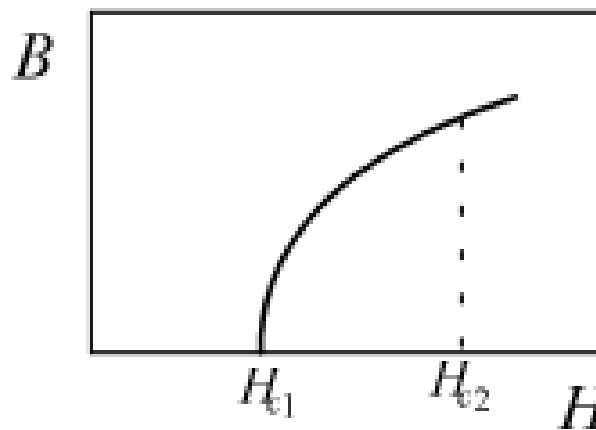
Meissnerův jev



Supravodiče I. druhu



Supravodiče II. druhu



magnet pro Pavlínka
studená fúze
vzpomínky na kapalné hélium
Humlíček a supravodič

BCS teorie

1957 - J. Bardeen, L. Cooper a J. R. Schrieffer

1972 - NP

Cooperovy páry

Neplatí pro bismut

Maximální kritická teplota 23,2 K, Nb₃Ge, 1960

Vysokoteplotní supravodivost

1986 - IBM K. A. Müller a J. G. Bednorz keramický supravodič 35 K

LaBaCuO krit. teplota 13 K, pokles odporu 30 K, 1987 - 35 K

leden 1987 - LaSrCuO - 52 K

únor 1987 - YBaCuO - 90 K

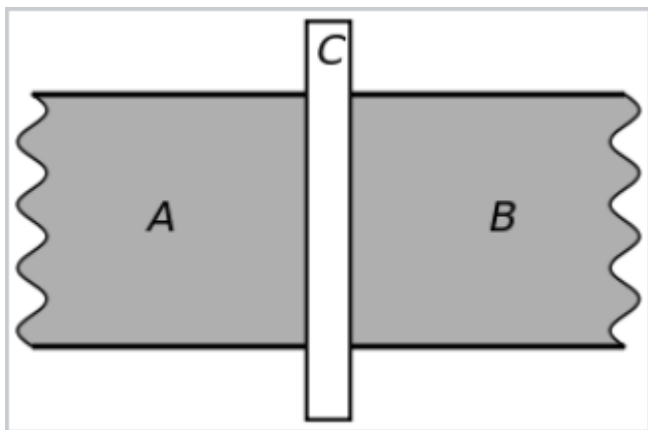
2003 - A. A. Abrikosov - NP za teorii

stabilní supravodiče do 212 K

Josephsonův jev

1962 - objev jako PhD student.

1973 - NP



Vznik elektrického proudu mezi dvěma supravodiči oddělenými tenkou vrstvou ($1 \mu\text{m}$) izolantu.

Vlnové funkce ve 2 supravodičích jsou koherentní.

Tunelování Cooperových párů.

Proud bariérou: $I = I_c \sin \varphi$

φ je fázový rozdíl mezi vlnovými funkcemi v A a B; závisí na teplotě a indukci vnějšího pole.



Brian Josephson

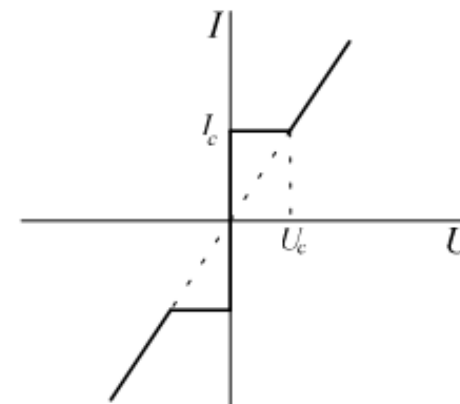
* 1940

parapsychologie
studená fúze
paměť vody

Josephsonův jev

Stejnoseměrný

Při nulovém elektrickém poli ($U=0$) teče spojem proud.



Střídavý

Udržíme-li mezi supravodiči konstantní elektrické napětí U , fázový rozdíl se mění lineárně s časem, přes bariéru prochází střídavý proud s amplitudou I_c a vysokou frekvencí $f = U.K_J$. Tímto způsobem je možné převádět elektrické napětí na frekvenci. Při napětí $1 \mu\text{V}$ vzniká proud o frekvenci přibližně 484 MHz.

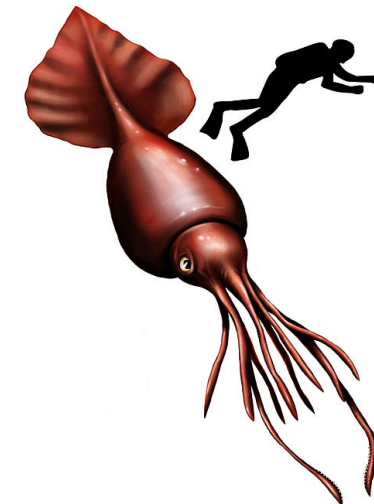
Inverzní střídavý

Ozářením Josephsonova přechodu elektromagnetickými vlnami o frekvenci f vyvolá skok napětí $\Delta U = f/K_J$. Jev může sloužit k převodu frekvence na elektrické napětí.

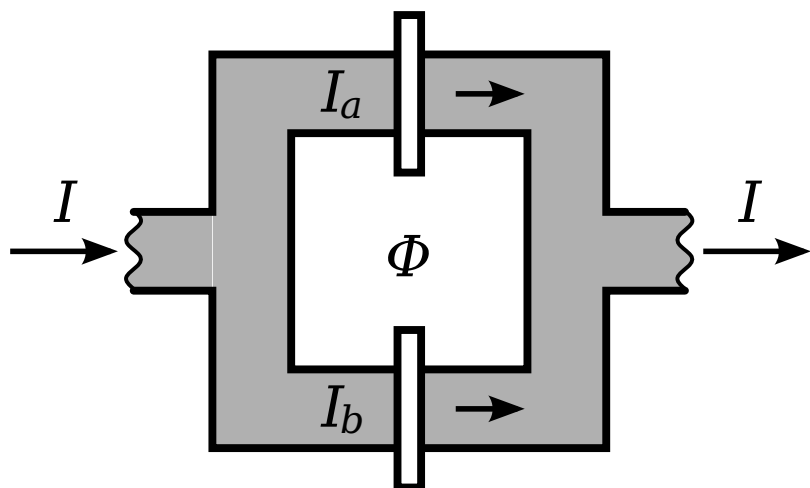
Josephsonova konstanta: $K_J = \frac{2e}{h}$

SQUID

superconducting quantum interference device

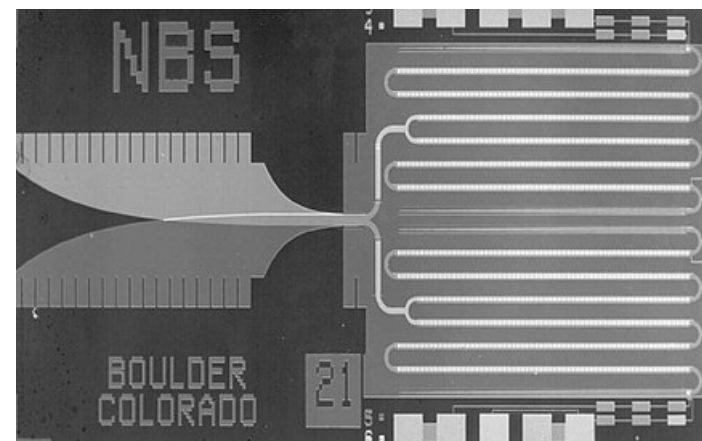


DC SQUID



Stejnoseměrný J. jev.

Proud je úměrný magnetickému toku Φ .
Umožňuje měřit mag. pole až 10^{-15} T.



Etalon elektrického napětí 1 volt vyvinutý v NIST. Zleva přicházející mikrovlny vytváří napětí na sérii 3020 Josephsonových přechodů v pravé části mikročipu.